

Legenda

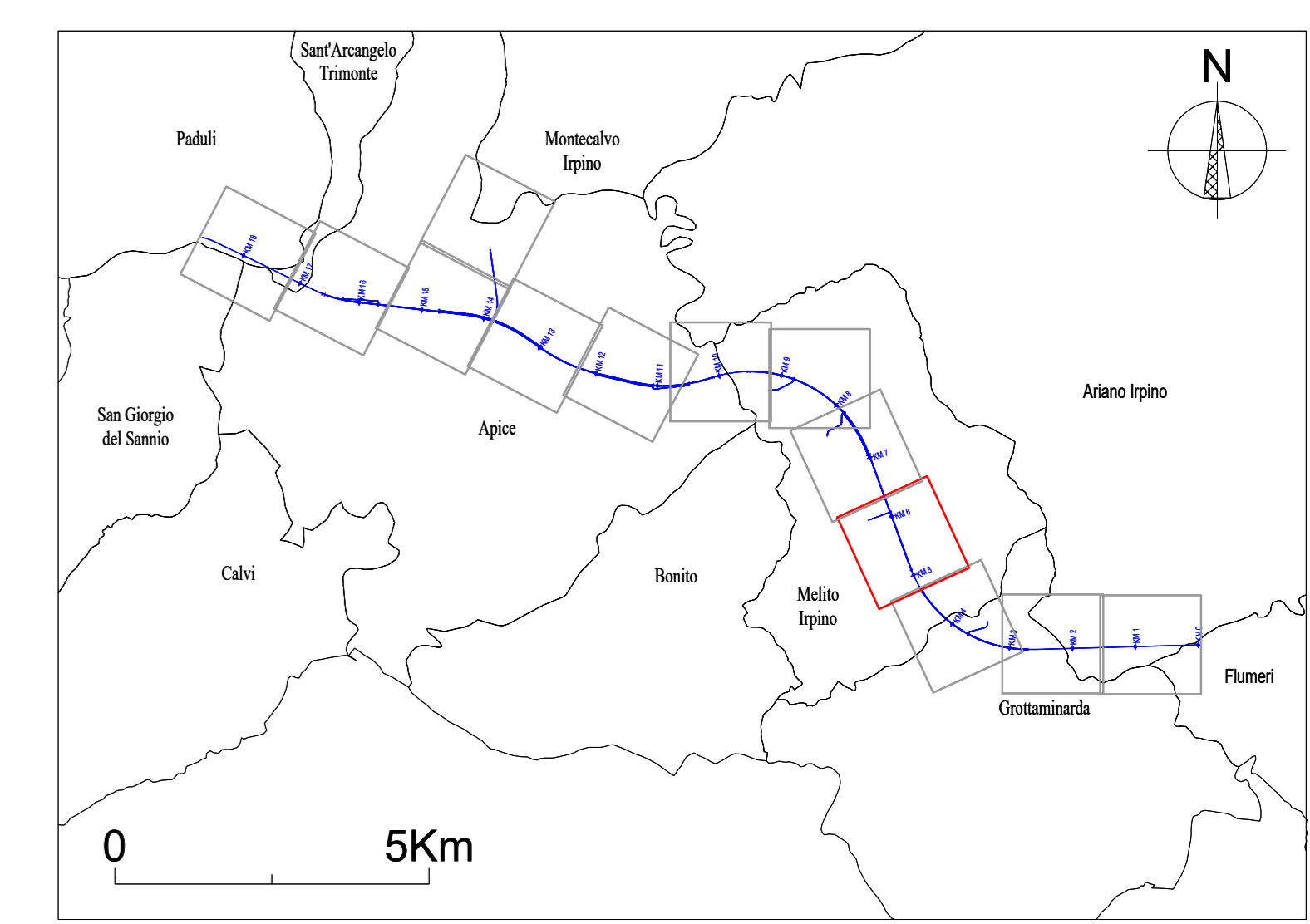
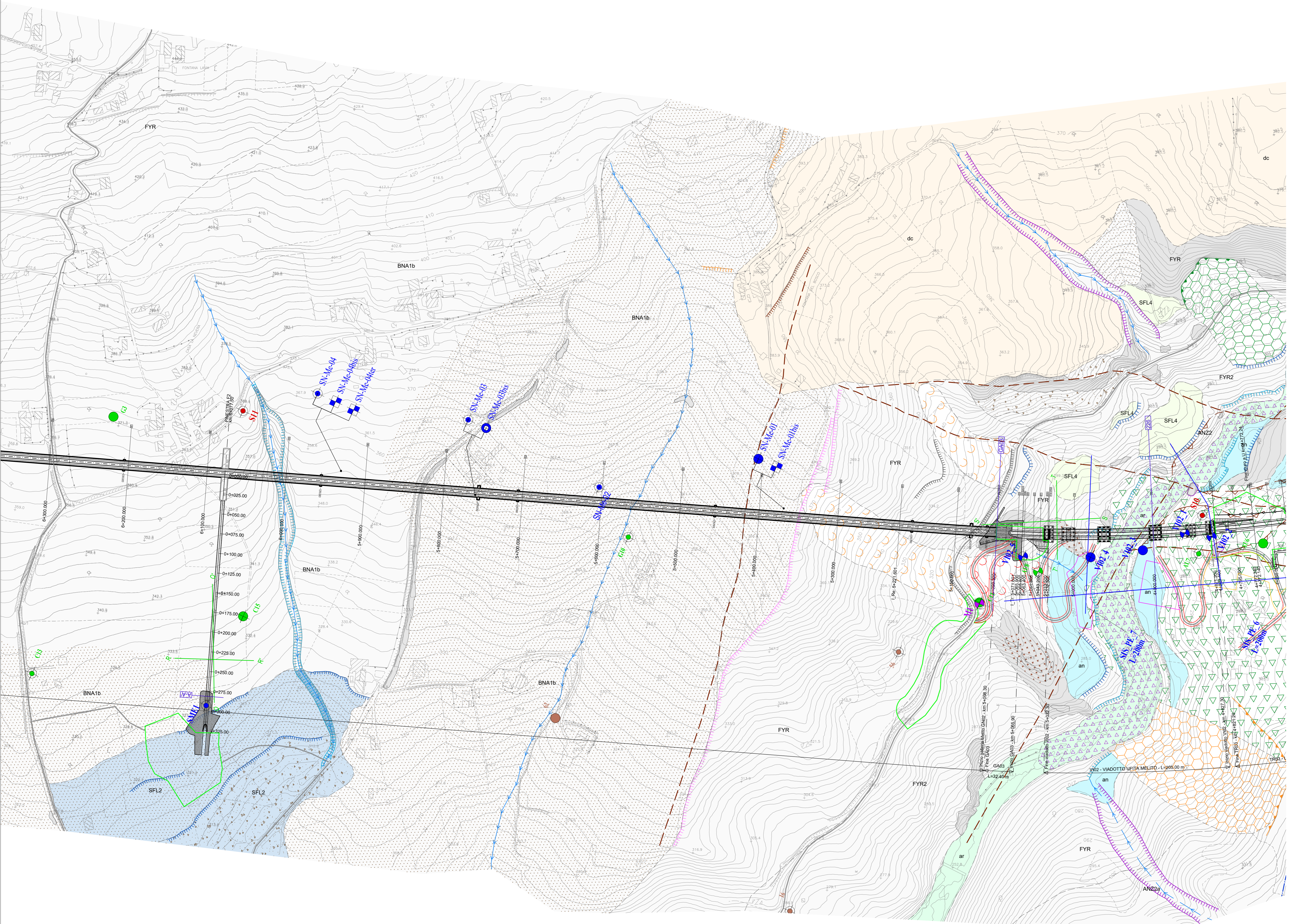
- Elementi geomorfologici**  
**Forme e processi gravitativi**  
 Depositi di frana  
 Orlo di scarpata secondaria all'interno del corpo di frana  
 a) certo/definito b) presunto/mal definito  
 attivo quiescente stabilizzato  
 a) b) c) d) e) f) g) h) i) j) k) l) m) n) o) p) q) r) s) t) u) v) w) x) y) z) aa) ab) ac) ad) ae) af) ag) ah) ai) aj) ak) al) am) an) ao) ap) aq) ar) as) at) au) av) aw) ax) ay) az) ba) bb) bc) bd) be) bf) bg) bh) bi) bj) bk) bl) bm) bn) bo) bp) bq) br) bs) bt) bu) bv) bw) bx) by) bz) ca) cb) cc) cd) ce) cf) cg) ch) ci) cj) ck) cl) cm) cn) co) cp) cq) cr) cs) ct) cu) cv) cw) cx) cy) cz) da) db) dc) dd) de) df) dg) dh) di) dj) dk) dl) dm) dn) do) dp) dq) dr) ds) dt) du) dv) dw) dx) dy) dz) ea) eb) ec) ed) ee) ef) eg) eh) ei) ej) ek) el) em) en) eo) ep) eq) er) es) et) eu) ev) ew) ex) ey) ez) fa) fb) fc) fd) fe) ff) fg) fh) fi) fj) fk) fl) fm) fn) fo) fp) fq) fr) fs) ft) fu) fv) fw) fx) fy) fz) ga) gb) gc) gd) ge) gf) gg) gh) gi) gj) gk) gl) gm) gn) go) gp) gq) gr) gs) gt) gu) gv) gw) gx) gy) gz) ha) hb) hc) hd) he) hf) hg) hh) hi) hj) hk) hl) hm) hn) ho) hp) hq) hr) hs) ht) hu) hv) hw) hx) hy) hz) ia) ib) ic) id) ie) if) ig) ih) ii) ij) ik) il) im) in) io) ip) iq) ir) is) it) iu) iv) iw) ix) iy) iz) ja) jb) jc) jd) je) jf) jg) jh) ji) jj) jk) jl) jm) jn) jo) jp) jq) jr) js) jt) ju) jv) jw) jx) jy) jz) ka) kb) kc) kd) ke) kf) kg) kh) ki) kj) kl) km) kn) ko) kp) kq) kr) ks) kt) ku) kv) kw) kx) ky) kz) la) lb) lc) ld) le) lf) lg) lh) li) lj) lk) ll) lm) ln) lo) lp) lq) lr) ls) lt) lu) lv) lw) lx) ly) lz) ma) mb) mc) md) me) mf) mg) mh) mi) mj) mk) ml) mn) mo) mp) mq) mr) ms) mt) mu) mv) mw) mx) my) mz) na) nb) nc) nd) ne) nf) ng) nh) ni) nj) nk) nl) nm) no) np) nq) nr) ns) nt) nu) nv) nw) nx) ny) nz) oa) ob) oc) od) oe) of) og) oh) oi) oj) ok) ol) om) on) oo) op) oq) or) os) ot) ou) ov) ow) ox) oy) oz) pa) pb) pc) pd) pe) pf) pg) ph) pi) pj) pk) pl) pm) pn) po) pp) pq) pr) ps) pt) pu) pv) pw) px) py) pz) qa) qb) qc) qd) qe) qf) qg) qh) qi) qj) qk) ql) qm) qn) qo) qp) qq) qr) qs) qt) qu) qv) qw) qx) qy) qz) ra) rb) rc) rd) re) rf) rg) rh) ri) rj) rk) rl) rm) rn) ro) rp) rq) rr) rs) rt) ru) rv) rw) rx) ry) rz) sa) sb) sc) sd) se) sf) sg) sh) si) sj) sk) sl) sm) sn) so) sp) sq) sr) ss) st) su) sv) sw) sx) sy) sz) ta) tb) tc) td) te) tf) tg) th) ti) tj) tk) tl) tm) tn) to) tp) tq) tr) ts) tt) tu) tv) tw) tx) ty) tz) ua) ub) uc) ud) ue) uf) ug) uh) ui) uj) uk) ul) um) un) uo) up) uq) ur) us) ut) uu) uv) uw) ux) uy) uz) va) vb) vc) vd) ve) vf) vg) vh) vi) vj) vk) vl) vm) vn) vo) vp) vq) vr) vs) vt) vu) vv) vw) vx) vy) vz) wa) wb) wc) wd) we) wf) wg) wh) wi) wj) wk) wl) wm) wn) wo) wp) wq) wr) ws) wt) wu) wv) ww) wx) wy) wz) xa) xb) xc) xd) xe) xf) xg) xh) xi) xj) xk) xl) xm) xn) xo) xp) xq) xr) xs) xt) xu) xv) xw) xx) xy) xz) ya) yb) yc) yd) ye) yf) yg) yh) yi) yj) yk) yl) ym) yn) yo) yp) yq) yr) ys) yt) yu) yv) yw) yx) yy) yz) za) zb) zc) zd) ze) zf) zg) zh) zi) zj) zk) zl) zm) zn) zo) zp) zq) zr) zs) zt) zu) zv) zw) zx) zy) zz)
- Elementi geologici e morfostrutturali**  
 Fotolineamento  
 Ammasso detentato e/o rilasciato  
 Scarpata/superficie di origine tettonica  
 a) b) c) d) e) f) g) h) i) j) k) l) m) n) o) p) q) r) s) t) u) v) w) x) y) z) aa) ab) ac) ad) ae) af) ag) ah) ai) aj) ak) al) am) an) ao) ap) aq) ar) as) at) au) av) aw) ax) ay) az) ba) bb) bc) bd) be) bf) bg) bh) bi) bj) bk) bl) bm) bn) bo) bp) bq) br) bs) bt) bu) bv) bw) bx) by) bz) ca) cb) cc) cd) ce) cf) cg) ch) ci) cj) ck) cl) cm) cn) co) cp) cq) cr) cs) ct) cu) cv) cw) cx) cy) cz) da) db) dc) dd) de) df) dg) dh) di) dj) dk) dl) dm) dn) do) dp) dq) dr) ds) dt) du) dv) dw) dx) dy) dz) ea) eb) ec) ed) ee) ef) eg) eh) ei) ej) ek) el) em) en) eo) ep) eq) er) es) et) eu) ev) ew) ex) ey) ez) fa) fb) fc) fd) fe) ff) fg) fh) fi) fj) fk) fl) fm) fn) fo) fp) fq) fr) fs) ft) fu) fv) fw) fx) fy) fz) ga) gb) gc) gd) ge) gf) gg) gh) gi) gj) gk) gl) gm) gn) go) gp) gq) gr) gs) gt) gu) gv) gw) gx) gy) gz) ha) hb) hc) hd) he) hf) hg) hh) hi) hj) hk) hl) hm) hn) ho) hp) hq) hr) hs) ht) hu) hv) hw) hx) hy) hz) ia) ib) ic) id) ie) if) ig) ih) ii) ij) ik) il) im) in) io) ip) iq) ir) is) it) iu) iv) iw) ix) iy) iz) ja) jb) jc) jd) je) jf) jg) jh) ji) jj) jk) jl) jm) jn) jo) jp) jq) jr) js) jt) ju) jv) jw) jx) jy) jz) ka) kb) kc) kd) ke) kf) kg) kh) ki) kj) kl) km) kn) ko) kp) kq) kr) ks) kt) ku) kv) kw) kx) ky) kz) la) lb) lc) ld) le) lf) lg) lh) li) lj) lk) ll) lm) ln) lo) lp) lq) lr) ls) lt) lu) lv) lw) lx) ly) lz) ma) mb) mc) md) me) mf) mg) mh) mi) mj) mk) ml) mn) mo) mp) mq) mr) ms) mt) mu) mv) mw) mx) my) mz) na) nb) nc) nd) ne) nf) ng) nh) ni) nj) nk) nl) nm) no) np) nq) nr) ns) nt) nu) nv) nw) nx) ny) nz) oa) ob) oc) od) oe) of) og) oh) oi) oj) ok) ol) om) on) oo) op) oq) or) os) ot) ou) ov) ow) ox) oy) oz) pa) pb) pc) pd) pe) pf) pg) ph) pi) pj) pk) pl) pm) pn) po) pp) pq) pr) ps) pt) pu) pv) pw) px) py) pz) qa) qb) qc) qd) qe) qf) qg) qh) qi) qj) qk) ql) qm) qn) qo) qp) qq) qr) qs) qt) qu) qv) qw) qx) qy) qz) ra) rb) rc) rd) re) rf) rg) rh) ri) rj) rk) rl) rm) rn) ro) rp) rq) rr) rs) rt) ru) rv) rw) rx) ry) rz) sa) sb) sc) sd) se) sf) sg) sh) si) sj) sk) sl) sm) sn) so) sp) sq) sr) ss) st) su) sv) sw) sx) sy) sz) ta) tb) tc) td) te) tf) tg) th) ti) tj) tk) tl) tm) tn) to) tp) tq) tr) ts) tt) tu) tv) tw) tx) ty) tz) ua) ub) uc) ud) ue) uf) ug) uh) ui) uj) uk) ul) um) un) uo) up) uq) ur) us) ut) uu) uv) uw) ux) uy) uz) va) vb) vc) vd) ve) vf) vg) vh) vi) vj) vk) vl) vm) vn) vo) vp) vq) vr) vs) vt) vu) vv) vw) vx) vy) vz) wa) wb) wc) wd) we) wf) wg) wh) wi) wj) wk) wl) wm) wn) wo) wp) wq) wr) ws) wt) wu) wv) ww) wx) wy) wz) xa) xb) xc) xd) xe) xf) xg) xh) xi) xj) xk) xl) xm) xn) xo) xp) xq) xr) xs) xt) xu) xv) xw) xx) xy) xz) ya) yb) yc) yd) ye) yf) yg) yh) yi) yj) yk) yl) ym) yn) yo) yp) yq) yr) ys) yt) yu) yv) yw) yx) yy) yz) za) zb) zc) zd) ze) zf) zg) zh) zi) zj) zk) zl) zm) zn) zo) zp) zq) zr) zs) zt) zu) zv) zw) zx) zy) zz)
- Forme antropiche**  
 Depositi di origine antropica  
 Canale  
 Orlo di scarpata di origine antropica
- Altri simboli**  
 Traccia sezione geologica - geomorfologica  
 Tracciato in progetto  
 Cava

- Cantieri**  
 CB - Cantiere Base  
 GN - Cantiere Operativo  
 Galleria  
 DT - Deposito Temporaneo  
 AT - Area Tecnica  
 Viabilità  
 AR - Cantiere Di  
 Armamento  
 AS - Area Di  
 Stoccaggio

- Indagini geognostiche in sito**  
 Sondaggio a carotaggio continuo non attrezzato  
 Sondaggio a carotaggio continuo attrezzato con piezometro  
 Sondaggio a carotaggio continuo attrezzato con inclinometro  
 Sondaggio a carotaggio continuo attrezzato per sismica in foro  
 Sondaggio a distruzione di nucleo attrezzato con inclinometro

- Indagini sismiche**  
 Stendimento sismico a rifrazione (nella zona della frana Grottaminarda anche a rifrazione e geoelettrica)  
 Linee in tomografia elettrica 2D con ripetizione nel tempo (elapses time)  
 Campagna indagini 1984/1986  
 Campagna indagini 2005  
 Campagna indagini 2006  
 Campagna indagini 2015  
 Campagna indagini 2017  
 Campagna indagini 2019

I colori si applicano alle indagini sia geognostiche sia sismiche



COMMITTENTE:  
**RFI**  
 RETE FERROVIARIA ITALIANA  
 GRUPPO FERROVIE DELLO STATO ITALIANE

COMMITTENTE:  
**ITALFERR**  
 FERROVIE DELLO STATO ITALIANE

DIREZIONE LAVORI:  
**ITALFERR**  
 FERROVIE DELLO STATO ITALIANE

APPALTATORE:  
**HirpiniaAV**

CONSORZIO:  
**salini impreglio**

SOCI:  
**ASTALDI**

PROGETTAZIONE:  
 MANDATARIA:  
**ROCK SOIL S.p.A.**

MANDANTI:  
**NET ENGINEERING** **Alpina S.p.A.**

**PROGETTO ESECUTIVO**  
**ITINERARIO NAPOLI - BARI**  
**RADDOPPIO TRATTA APICE - ORSARA**  
**I LOTTO FUNZIONALE APICE - HIRPINIA**  
 GEOLOGIA  
 STUDIO GEOLOGICO GENERALE  
 CARTA GEOMORFOLOGICA  
 Tav. 4/13

APPALTATORE Consorto HIRPINIA AV Il Direttore Tecnico Ing. Vincenzo Morale 10/06/2020	DIRETTORE DELLA PROGETTAZIONE Il Responsabile integrazione fra le varie prestazioni specialistiche Ing. G. Casare	PROGETTISTA <b>ROCK SOIL S.p.A.</b> Dott. Geol. F. Perrino						
COMMESSA	LOTTO	FASE	ENTE	TIPO DOC.	OPERANDISCIPLINA	PROGR.	REV.	SCALA:
IF28	01	E	ZZ	N6	GE0103	004	B	1:2000
Rev.	Descrizione	Redatto	Data	Verificato	Data	Approvato	Data	Autorizzato Data
A	Emissione per consegna	F. Perrino	21/06/2020	A. Basso	21/06/2020	M. Gatti	21/06/2020	Ing. G. Casare
B	Revisione per struttura	F. Perrino	10/06/2020	F. Perrino	10/06/2020	M. Gatti	10/06/2020	

